

川崎重工業(株) 正員 ○序治 貞宏
京都大学工学部 正員 生友 値

1) はじめに

フロックの成長過程を論じる際、フロックが液体から受ける剪断力による破壊を無視することはできない。筆者等は前回、フロックの破壊について破壊頻度を考え実験および数値計算による考察を示した。フロックは衝突合一と破壊を繰り返していると考えられ、衝突される最大安定フロック径は破壊頻度の影響を受けていると思われる。本報はこうして観察に立ち、最大安定径に注目することにより前回示したものと、すなわち、最大安定径に関する知見を得よう試みたもので、その一部を報告する。

2) 衝突・合一と破壊の平衡として考えられる最大安定フロック径

フロックが衝突・合一と破壊とを繰り返している場合の最大安定フロック径は次のように考えてよい。体積 v_f のフロックに注目すると、衝突・合一によるフロック体積の増加速度(dV_f/dt)_Fを考えると、

$$\left(\frac{dV_f}{dt}\right)_F = \int_0^\infty \alpha_f P(v_f, u') n(u', t) u' du' \quad (1)$$

ここで α_f : 衝突合一確率, $n(u', t)$: 体積 u' のフロック数濃度であり、乱流場におけるフロック衝突頻度 $P(v_f, u')$ の値を代入すると

$$\left(\frac{dV_f}{dt}\right)_F = q \alpha_f \beta \sqrt{\frac{\varepsilon_0}{\mu}} \int_0^\infty \{1 + (\frac{u'}{v_f})^{\frac{1}{3}}\}^3 v_f u' n(u', t) du' \quad (2)$$

ここで β : 定数, ε_0 : エネルギー遮散率, μ : 粘性係数である。また、破壊によるフロック体積の減少速度(dV_f/dt)_Bを次式のように考える。

$$\left(\frac{dV_f}{dt}\right)_B = - \int_0^\infty \alpha_B P_B(v_f, u') P_{B_2}(v_f, u') u' du' \quad (3)$$

ここで α_B : 確率, $P_B(v_f)$: 体積 v_f のフロックが破壊抵抗力以上の力を単位時間に受ける確度, $P_{B_2}(v_f, u')$: 体積 v_f のフロックが破壊した時体積 u' のフロックが生じる確率である。最大安定径のフロックでは(dV_f/dt)_F + (dV_f/dt)_B = 0 と考えられる。フロック破壊頻度 $P_B(v_f)$ を前回同様に

$$P_B(v_f) = K_B v_f^{m_1} \varepsilon_0^{m_2} \quad (K_B, m_1, m_2: \text{定数}) \quad (4)$$

とおくと最大安定径を示す式として次式を得る。

$$d_{max} = K \frac{1}{V_F^{3/(m_1+m_2+1)}} \frac{m_1 - \frac{1}{2}}{\varepsilon_0^{-3/(m_1+m_2+1)}} \quad (5)$$

ここで V_F : フロック体積濃度, ε_0 : 形成槽内の平均的エネルギー遮散率, K, m_1, m_2, m_3 : 定数 であり

$$\int_0^\infty P_B(u, u') u' du' = K_B u^{m_3}, \int_0^\infty \{1 + (\frac{u'}{v_f})^{\frac{1}{3}}\}^3 n(u', t) u' du' = K_F V_F$$

といつてある。(5)式よりエネルギー遮散率 ε_0 およびフロック体積濃度 V_F と最大安定径との関係を調べることにより(4)式で示された破壊頻度に関する知見が得られることが予測される。

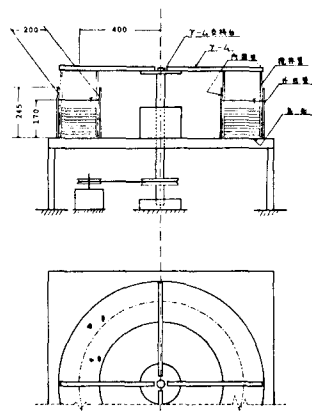


図-1. 円形フロック形成槽

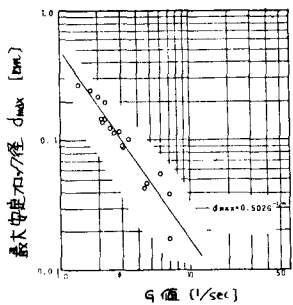


図-2 G値と最大安定径フロック径との関係

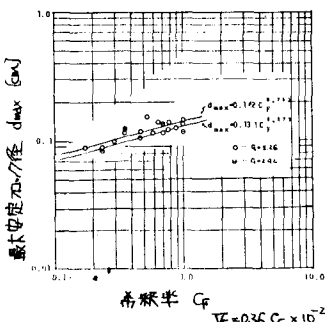


図-3 希釈率と最大安定フロック径の関係

3) 実験装置および方法

本実験は図-1に示した円形フロック形成槽(容量85L)を用い、2種のフロックについて種々の懸濁液濃度およびフロック体積濃度における最大フロック径を写真撮影により求めた。なおフロック体積濃度は懸濁液終了後上澄水で希釈して測定して硬化させた。

4) 実験結果および考察

図-2,3は懸濁液川土砂50ppm、硫酸バント55ppm、アルギン酸ソーダ1ppm、NaOH約75ppmにて形成したフロックにおける結果である。これらの図よりつきの関係式を得られる。

$$d_{max} = 2.4 V_F^{0.27} G^{-1.44} \quad (cm) \quad (G: G値 (1/sec)) \quad (6)$$

このように最大安定フロック径が形成槽内の平均的なG値(あるいはエネルギー遮蔽率)だけではなく、フロック体積濃度に依存するには形成槽内のエネルギー遮蔽率の分布が均一でないためフロックが破壊強度(抵抗力)以上のカスランダムに受けているためと考えられる。この場合の破壊強度は式(4), (5), (6)より次式のようになる。ただし $M_3=1$ としている。

$$P_{b1}(U) = K_B U^{1.23} \bar{\epsilon}_o^{3.17} \quad M_1 = 1.23, M_2 = 3.17 \quad (7)$$

実験地のフロックと比較するため大津市柳ヶ崎淨水場に図-1の形成槽を設置し、前記の実験と同じ条件でのフロック形成を行なった。ただし、この場合淨水場の懸濁液はサイフォンで氷引き上げ、直ちに懸濁液を行なった。また当淨水場では通常、硫酸バント約30ppm用いられ、アルカリ剤、凝集助剤は用いられていない。実験結果を図-4,5に示す。これらの図からつきの関係式が得られ、破壊強度が求められる。

$$d_{max} = 2.5 V_F^{0.17} G^{-0.98} \quad (8)$$

$$P_{b1}(U) = K_B U^{1.92} \bar{\epsilon}_o^{3.36} \quad (9)$$

式(7), (9)より破壊強度は $P_{b1}(U) = K_B U^{1.92} \bar{\epsilon}_o^{3.36}$ と表わせた。 $\bar{\epsilon}_o$ に関する指標がほぼ同じであつて、Eのばくはん条件が同じであつたためと考えられる。ひの指数に差があるのより、フロックの性質が異なるため破壊抵抗力が異なるからと考えられる。フロックの有効密度を測定した結果を図-6,7に示す。これらの図より淨水場フロックの方がフロック径が大きくなるにつれ空隙半径が高くなる。それにもかかわらず最大安定径はあまりには結合強度が大きいためと思われる。

5) おわりに

最大安定フロックに及ぼす破壊強度の影響を調べることにより、前回で示した得方に、Eフロック破壊強度に関する知見を得ることができた。今後、フロック破壊強度を定量化するためにはエネルギー遮蔽率の空間分布を定量化する必要がある。

〈参考文献〉

- (1) 住友・宇治・平井; フロックの破壊に関する基礎的研究, 土木学会第32年会講演会概要集(昭52年)
- (2) 宇治; フロッケーターによるフロックの成長と破壊に関する研究, 京都大学修士論文(昭53年)

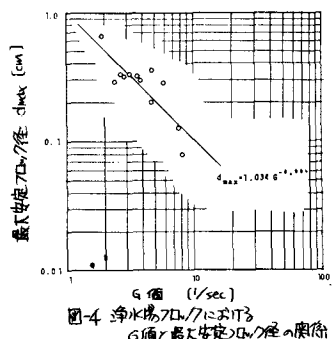


図-4 淨水場フロックにおけるG値と最大安定フロック径の関係

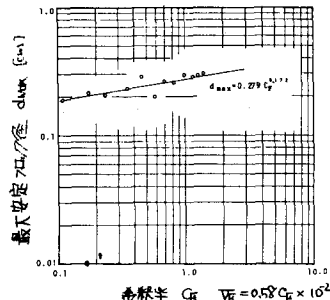


図-5 淨水場フロックにおけるG値と最大安定フロック径の関係

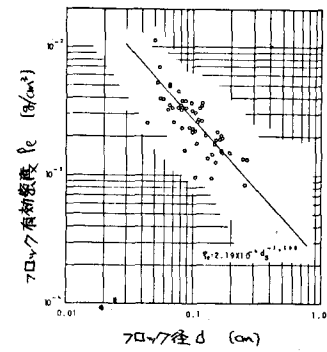


図-6 フロック有効密度

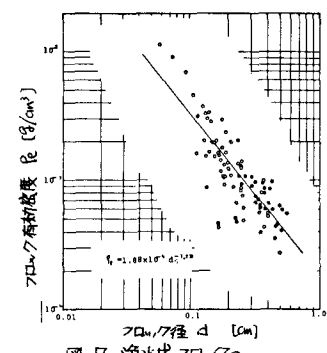


図-7 淨水場フロックのG値とフロック有効密度